

06:11:12

# Пленки легированного галлием оксида цинка, нанесенные с использованием несбалансированной магнетронной распылительной системы

© А.Н. Захаров, К.В. Оскомов, С.В. Работкин, А.А. Соловьев, Н.С. Сочугов

Институт сильноточной электроники СО РАН,  
634055 Томск, Россия  
e-mail: zare17@yandex.ru

(Поступило в Редакцию 1 апреля 2009 г.)

Приведены результаты экспериментов по нанесению пленок легированного галлием оксида цинка при помощи несбалансированной магнетронной распылительной системы. Напыление пленок проводилось с использованием распыления на постоянном токе проводящей керамической мишени в атмосфере аргона. Температура подложек составляла 150°C. Морфология полученных пленок исследовалась методами растровой электронной и атомно-силовой микроскопии. Показано, что с увеличением степени несбалансированности магнетрона улучшаются электрофизические свойства пленок, получаемые на оси системы. При этом распределение удельного сопротивления покрытия на поверхности подложки становится более равномерным.

## Введение

Прозрачные проводящие оксиды (TCO) находят широкое применение в производстве плоских дисплеев, прозрачных электродов и нагревательных элементов. Тонкие пленки таких оксидов применяются в качестве антистатических, просветляющих и барьера покрытий. Прозрачность в видимом диапазоне и высокое отражение в ИК-диапазоне допускает их использование также для производства низкоэмиссионного стекла [1]. В последнее время большое внимание уделяется пленкам на основе оксида цинка, легированного алюминием ( $ZnO : Al$ ) и галлием ( $ZnO : Ga$ ), как альтернативе дорогостоящим TCO на основе системы  $In_2O_3 - SnO_2$  (ITO) [2,3].

Используемый для нанесения TCO метод магнетронного распыления допускает контролируемое изменение условий осаждения покрытия, определяющих электрофизические и структурные свойства наносимого покрытия. Вместе с тем для магнетронного осаждения TCO характерна неоднородность распределения удельного сопротивления на подложке, связанная с бомбардировкой растущей пленки энергетическими отрицательными ионами и атомами кислорода [4,5]. Понижение напряжения магнетронного разряда путем увеличения магнитного поля над поверхностью мишени магнетрона, а также совместного использования источника питания постоянного тока и радиочастотного источника ведет к уменьшению энергии ускоренных частиц. В результате происходит улучшение кристаллической структуры покрытия и уменьшение уровня напряжений в областях подложки, расположенных напротив зоны эрозии мишени. При этом также существенно улучшается однородность распределения удельного сопротивления по всей поверхности подложки [6].

В отличие от бомбардировки высокогенергетичными частицами низкоэнергетичная бомбардировка растущей

пленки частицами с энергией  $E < 30 \text{ eV}$  позволяет улучшить свойства покрытия за счет увеличения подвижности адатомов распыляемого материала по поверхности подложки и улучшения кристалличности покрытия [7]. Для достижения оптимальной структуры и свойств покрытий важно регулировать плотность ионного тока на подложку  $J_i$  и энергию бомбардирующих ионов  $E_i$ . Эта задача может быть решена с помощью магнетронных распылительных систем, оснащенных электромагнитными катушками, позволяющими управлять величиной и конфигурацией магнитного поля вблизи подложки [8,9].

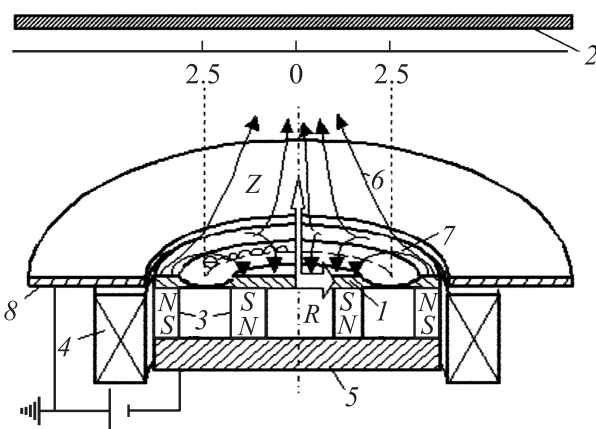
Целью настоящей работы явилось получение прозрачных проводящих пленок легированного галлием оксида цинка при помощи несбалансированной магнетронной системы. Проведено исследование влияния магнитного поля, создаваемого внешней электромагнитной катушкой магнетрона, на электрофизические, оптические и структурные свойства, а также однородность получаемых покрытий.

## 1. Экспериментальная часть

Схематическое изображение магнетронной распылительной системы с электромагнитной катушкой и геометрия процесса напыления пленок приведены на рис. 1.

Распыляемый катод представляет собой керамический диск состава  $ZnO : Ga_2O_3$  (3.5 at%) диаметром 95 и толщиной 9 mm. Аксиально-симметричная магнитная система состоит из кольцевых центрального и периферийного постоянных магнитов (NdFeB), магнитопровода, а также коаксиально расположенной электромагнитной катушки, имеющей 3500 витков медного провода. Максимальный ток катушки составляет 1 A.

В работе [10] представлены результаты экспериментальных исследований такой магнетронной распылительной системы, в частности, были измерены радиальные



**Рис. 1.** Схема магнетронной распылительной системы: 1 — катод, 2 — подложка, 3 — постоянные магниты, 4 — соленоид, 5 — магнитопровод, 6 — несбалансированные линии магнитного поля, 7 — сбалансированные линии магнитного поля, 8 — анод.

распределения плотности ионного тока  $J_i$ , потенциала плазмы  $V_p$  и плавающего потенциала  $V_{fl}$ .

Подложками служили стеклянные образцы  $150 \times 100 \text{ mm}$ , проходившие предварительную ультразвуковую очистку в этиловом спирте. Нагрев подложек производился никромовым нагревателем. Температура подложки контролировалась термопарой хромель-алюмель с точностью  $\pm 5^\circ\text{C}$ . Подложки устанавливались параллельно поверхности мишени на расстоянии  $80 \text{ mm}$ . Большинство экспериментов было проведено при температуре подложек  $150^\circ\text{C}$ .

Основным параметром, который изменялся в ходе экспериментов, являлся ток в электромагнитной катушке, который регулировался в пределах от 0 до 1 А. Рабочее давление составляло  $0.25 \text{ Pa}$ . Мощность разряда составляла  $120 \text{ W}$ . Напряжение разряда зависело от тока катушки и находилось в пределах от 330 до 395 В. В экспериментах использовался источник питания для магнетронных распылительных систем марки ApE1-M. Система дугогашения источника питания обеспечивала энерговыделение в дуге не более  $50 \text{ mJ}$ .

Оптические свойства полученных покрытий в видимом диапазоне исследовались с помощью спектрофотометра USB 200-VIS-NIR. Толщина пленок измерялась с помощью микрointерферометра МИИ-4. Измерение удельного сопротивления проводилось четырехзондовым методом. Измерения подвижности и концентрации носителей зарядов проводились методом Ван-дер-Пау в магнитном поле  $0.64 \text{ T}$  при комнатной температуре. Размер образцов для измерений составлял  $20 \times 20 \text{ mm}$ . Морфология поверхности пленок образцов определялась сканирующим электронным и атомным силовым микроскопами. Микроструктура полученных пленок изучалась с помощью рентгеновского дифрактометра Shimadzu XRD 6000 с использованием  $\text{Cu}K\alpha$ -излучения.

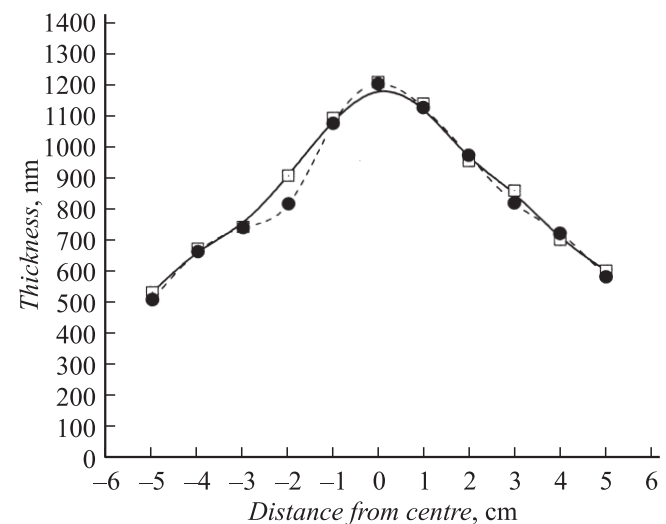
## 2. Результаты и обсуждение

В зависимости от величины и направления тока  $I_c$  в электромагнитной катушке над поверхностью катода может реализовываться как сбалансированная, так и несбалансированная (тип 1 или 2), согласно общепринятой классификации [11], конфигурация магнитного поля. Несбалансированная конфигурация магнитного поля 1-го типа не получила широкого распространения, поскольку в ней несбалансированные силовые линии направлены в сторону стенок камеры, в результате чего плотность плазмы у подложки низкая. Для генерации ионов в области подложки наиболее подходит 2-й тип несбалансированной конфигурации магнитного поля. В этом случае магнитное поле соленоида совпадает по направлению с магнитным полем, создаваемым внешними магнитами магнетрона. Такая конфигурация использовалась нами при нанесении пленок оксида цинка.

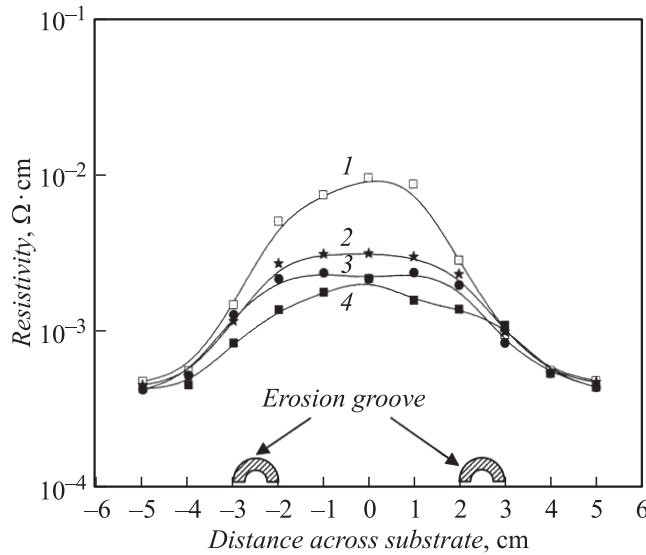
При  $I_c = 1 \text{ A}$  тангенциальная составляющая магнитного поля над поверхностью катода минимальна ( $5.5 \cdot 10^{-2} \text{ T}$ ) и минимальен радиус зоны распыления, составляющий 22 мм. Это объясняется тем, что в сильно несбалансированном режиме (тип 2) магнитная ловушка над поверхностью катода поджимается несбалансированными линиями магнитного поля к его центру. В отсутствие магнитного поля катушки радиус эрозионной канавки увеличивался на 5 мм.

На рис. 2 приведен график распределения толщины покрытия по поверхности подложки. Видно, что даже при максимальном токе в электромагнитной катушке магнетрона характер распределения толщины не меняется.

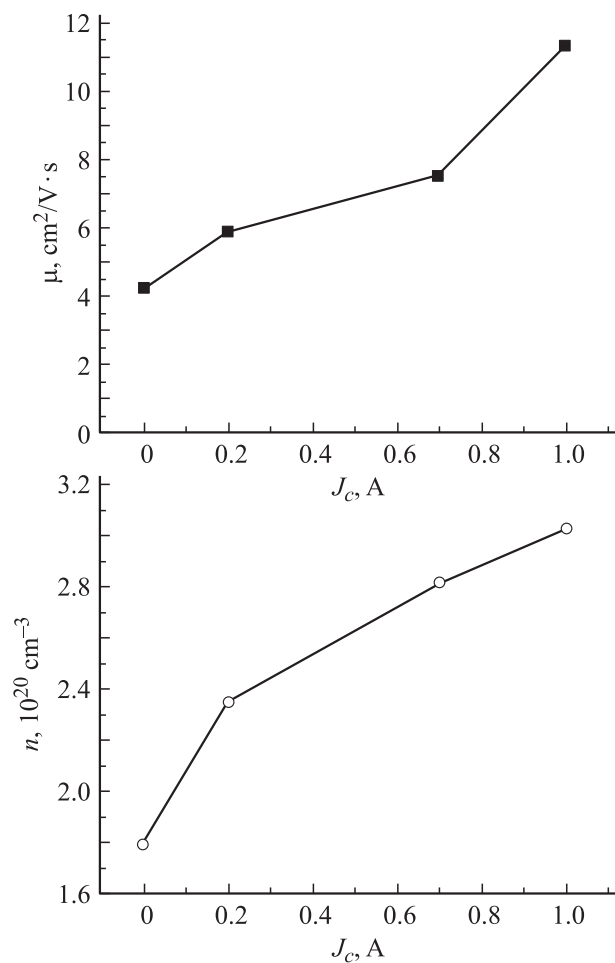
Скорость роста покрытия составляла  $11 \text{ nm/min}$  на краях подложки (положение 5 см от центра подложки) и  $35 \text{ nm/min}$  в ее центре.



**Рис. 2.** Распределение толщины пленок  $\text{ZnO} : \text{Ga}$  по поверхности подложки в случае максимального тока катушки (●) и без магнитного поля катушки (□).



**Рис. 3.** Распределение удельного сопротивления пленок ZnO : Ga по поверхности подложки от величины тока  $I_c$  в электромагнитной катушке магнетрона: 1 — 0, 2 — 0.5, 3 — 1, 4 — 0.5 A 200°C.

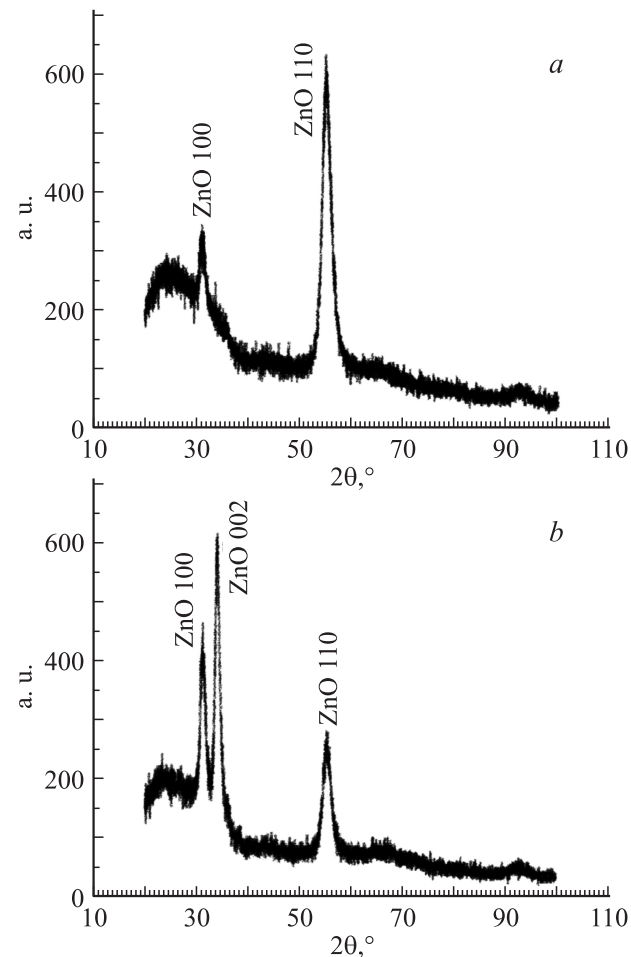


**Рис. 4.** Зависимость холловской подвижности  $\mu$  (■) и концентрации носителей заряда  $n$  (○) от величины тока внешней катушки магнетрона.

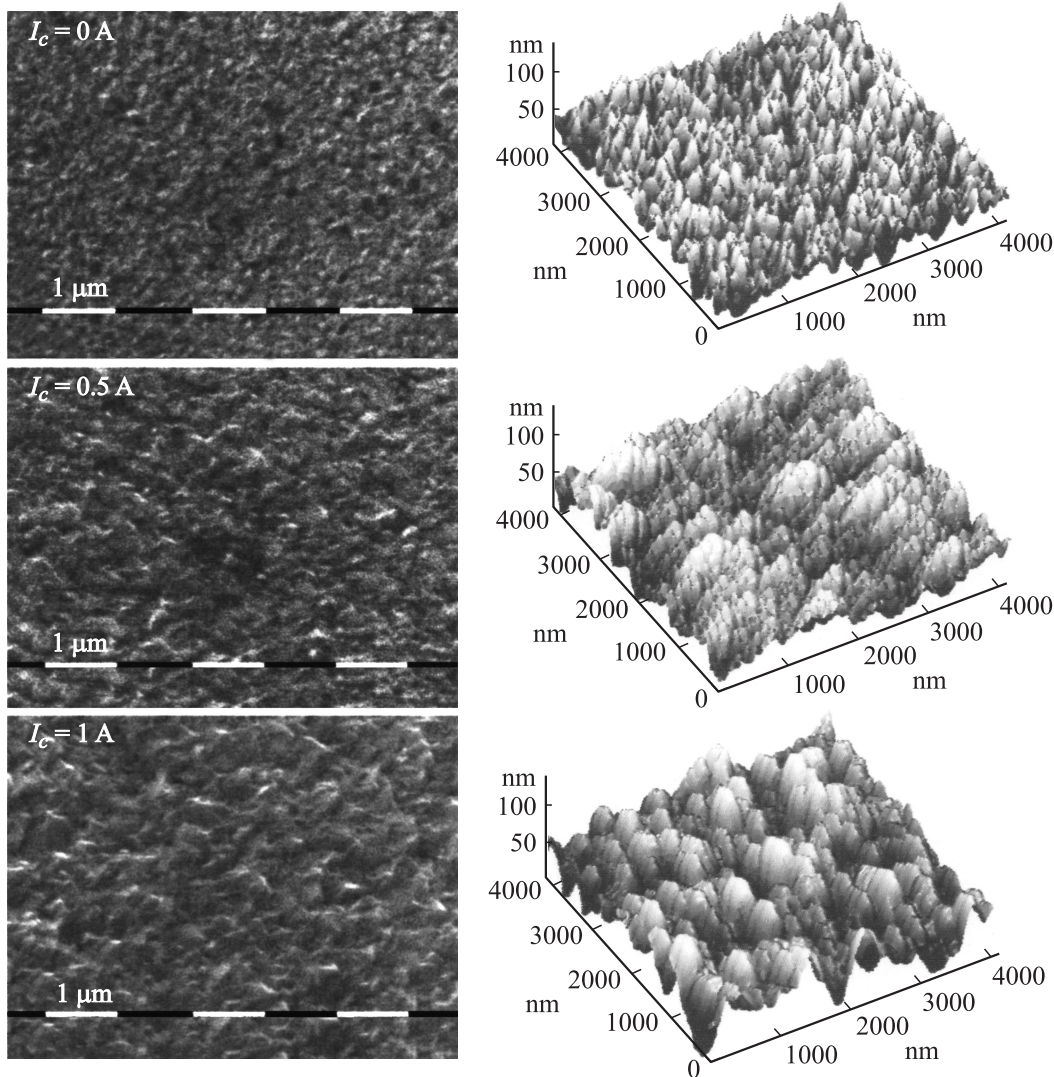
На рис. 3 представлено распределение удельного сопротивления пленок оксида цинка на поверхности подложки, измеренное для разных токов электромагнитной катушки магнетрона. Температура подложек во время напыления составляла 150°C. Были также получены образцы покрытия при температуре 200°C и с током катушки  $I_c = 0.5$  A.

Удельное сопротивление покрытия  $\rho$  ниже  $1 \cdot 10^{-3} \Omega \cdot \text{см}$  достигалось на расстояниях, превышающих 3 см от центра подложки. Эти области подложки находятся за проекцией зоны распыления мишени. Положение  $\pm 2.5$  см соответствует центру эрозионной канавки (рис. 1). Из графиков видно, что удельное сопротивление на краях подложки не зависит от тока внешней электромагнитной катушки. Бомбардировка энергетическими частицами, приводящая к ухудшению кристалличности покрытия, здесь отсутствует в отличие от центральной области подложки.

С увеличением тока катушки существенно уменьшается удельное сопротивление покрытия в центре подложки и становится более однородным его распределение. Измерения образцов методом Ван-дер-Пау показали, что уменьшение удельного сопротивления происходит за



**Рис. 5.** Дифрактограммы покрытия, полученного в центре подложки: *a* —  $I_c = 0$ , *b* — 0.5 A.



**Рис. 6.** Изображения поверхности пленок ZnO : Ga, полученные методом растровой электронной микроскопии (левый ряд) и атомно-силовой микроскопии (справа).

счет увеличения как концентрации, так и холловской подвижности носителей заряда (рис. 4).

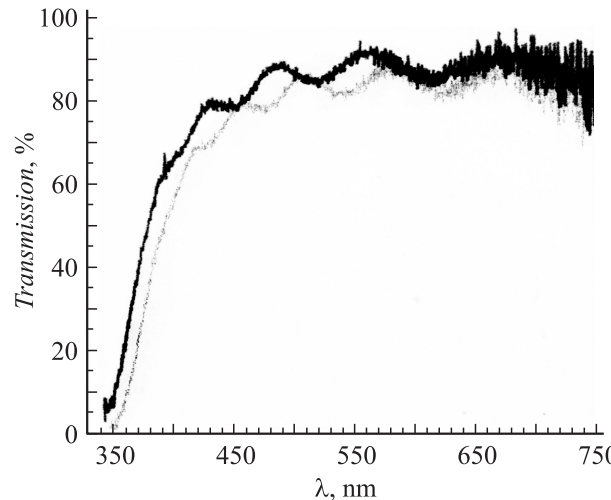
На краях подложки электрофизические параметры покрытия не зависели от тока катушки магнетрона. Значение удельного сопротивления пленок  $\rho$  находилось в пределах  $(4 - 4.45) \cdot 10^{-4} \Omega \cdot \text{см}$ . Максимальная концентрация носителей заряда  $n$  составляла  $8.9 \cdot 10^{20} \text{ см}^{-3}$ , наибольшая холловская подвижность  $\mu = 18.5 \text{ cm/V} \cdot \text{s}$ . Из рис. 3 следует, что удельное сопротивление в центральной области подложки можно понизить как увеличением тока в катушке магнетрона, так и увеличением температуры подложки. Увеличение температуры подложки от 150 до 200°C (при  $I_c = 0.5 \text{ A}$ ) приводило к снижению удельного сопротивления покрытия, получаемого в центральной области с  $3.2 \cdot 10^{-3}$  до  $2.2 \cdot 10^{-3} \Omega \cdot \text{см}$ . Сравненное снижение удельного сопротивления пленок ZnO : Ga достигалось увеличением тока в электромагнитной катушке  $I_c$  от 0.5 до 1 A при температуре подложки 150°C. В случае нанесения

покрытия на полимерные материалы разница в температуре подложек 50°C может оказаться критичной.

Рентгеноструктурный анализ пленок, полученных на краях подложки, выявил наличие только ZnO (002) пика с углом дифракции  $2\theta = 34.3 - 34.38^\circ$ . Это свидетельствует о том, что полученные в этих областях подложки пленки являются поликристаллическими с гексагональной структурой и преимущественной ориентацией *c*-оси перпендикулярно плоскости подложки.

На рис. 5 приведены дифрактограммы покрытия, полученного в центре подложки в двух режимах: без использования магнитного поля внешней электромагнитной катушки, а также при  $I_c = 0.5 \text{ A}$ .

Для образцов, полученных без внешнего магнитного поля, не наблюдался ZnO (002) рефлекс и появлялись рефлексы ZnO (100) и ZnO (110). Это говорит об отсутствии в пленке зерен с *c*-осью, ориентированной перпендикулярно поверхности подложки. В образцах,



**Рис. 7.** Прозрачность пленок ZnO:Ga, полученных при  $I_c = 1$  А в центре (пунктир) и на краю подложки (сплошная линия).

полученных в несбалансированном режиме, снова появляется выраженный ZnO (002) рефлекс.

На рис. 6 приведена морфология поверхности пленок ZnO:Ga, полученных при разных токах внешней электромагнитной катушки магнетрона. Изображения получены методом растровой электронной и атомно-силовой микроскопии (ACM). Хорошо заметно увеличение шероховатости пленок с увеличением тока катушки. Увеличение шероховатости связано с увеличением размера зерна в пленке, что подтверждается ACM-изображениями (приведены в первом ряду).

Увеличение размера зерна в пленке ведет к увеличению холловской подвижности носителей заряда за счет уменьшения их рассеяния на границах зерен. Среднеквадратичная шероховатость покрытий составляла 10.75 nm для пленок, полученных при  $I_c = 0$  А, для покрытий, полученных при токе катушки  $I_c = 1$  А, значение шероховатости увеличивалось до 19.15 nm.

Спектры пропускания в видимом диапазоне пленок, полученных при  $I_c = 1$  А в центре и на краю подложки, приведены на рис. 7. Граница фундаментальной полосы поглощения покрытия на краю подложки сдвинута в область более коротких длин волн вследствие увеличения концентрации носителей заряда в покрытии [12].

Для объяснения механизма улучшения электрических и структурных свойств покрытия, получаемого в центре подложки в несбалансированном режиме, можно сослаться на результаты, полученные авторами ранее в работе [10]. Было показано, что увеличение тока в электромагнитной катушке сопровождается значительным увеличением плотности ионного тока  $J_i$ , наиболее выраженным на оси системы. Это вызвано увеличением степени несбалансированности магнитного поля, силовые линии которого, направляясь в сторону подложки, ограничивают поперечную подвижность электронов и заставляют их двигаться по оси системы. При этом электроны перемещаются совместно с ионами изза необходимости поддержания электронейтральности

плазмы [13]. Визуально увеличение тока в соленоиде сопровождается уменьшением радиуса светящейся области на катоде и появлением на оси системы потока плазмы, направленного на подложку.

Измерения плавающего потенциала  $V_{fl}$  и потенциала плазмы  $V_p$  в несбалансированных режимах показали, что эти параметры изменяются в пространстве крайне неравномерно и имеют максимальные значения на оси системы. На оси системы, а также на расстояниях до 3 см от нее энергия бомбардирующих подложку ионов, определяемая как  $V_p - V_{fl}$ , может достигать 20 eV. Низкоэнергетичная бомбардировка подложки, так же как и увеличение ее температуры, увеличивает подвижность атомов на ее поверхности и стимулирует процесс их внедрения в структуру растущей пленки.

## Заключение

Методом магнетронного распыления керамической мишени получены прозрачные проводящие пленки легированного галлием оксида цинка при температуре подложки 150°С. Показано, что использование внешней электромагнитной катушки, создающей несбалансированную конфигурацию магнитного поля, позволяет улучшить электрические и структурные свойства оксидных пленок, получаемых на оси системы. Это улучшение связано с бомбардировкой растущей пленки ионами низкой ( $\sim 20$  eV) энергии, увеличивающей подвижность атомов на ее поверхности.

Работа выполнена при поддержке Российского фонда фундаментальных исследований (грант № 08-08-99-107).

## Список литературы

- [1] Hong R.J., Jiang X., Szyszka B. et al. // J. of Crystal Growth. 2003. Vol. 253. P. 117–128.
- [2] Minami T. // MRS Bull. 2000. Vol. 25. P. 38.
- [3] Minami T. // Semicond. Sci. Technol. 2002. Vol. 20. P. S35.
- [4] Tominaga K., Yuasa T., Kume M., and Tada O. // Jpn. J. Appl. Phys. 1985. Vol. 24. P. 944–949.
- [5] Minami T., Miyata T., Yamamoto T., Toda H. // J. Vac. Sci. Technol. 2000. A 18. P. 1584.
- [6] Minami T., Ohtani Y., Miyata T., and Kuboi T. // J. Vac. Sci. Technol. 2007. A 25. P. 1172.
- [7] Smith S. // Int. Mater. Rev. 1990. Vol. 35. N 2. P. 61.
- [8] Petrov I., Abibi F., Greene J.E. et al. // J. Vac. Sci. Technol. A. 1992. Vol. 10. P. 3283–3287.
- [9] Ivanov I., Kazansky P., Hultman L. et. al. // J. Vac. Sci. Technol. A. 1994. Vol. 12. P. 314–320.
- [10] Соловьев А.А., Сочугов Н.С., Оскомов К.В., Работкин С.В. // Физика плазмы. 2009. Т. 35. № 4. С. 1–10.
- [11] Field D.J., Dew S.K., Burrell R.E. // J. Vac. Sci. Technol. A. 2002. Vol. 20. P. 2032–2041.
- [12] Chang J.F., Hon M.H. // Thin Solid Films. 2001. Vol. 386. P. 79–86.
- [13] Window B., Harding G.L. // J. Vac. Sci. Technol. A. 1990. Vol. 8. P. 1277–1282.